

·基础研究·

# 分米波对神经损伤后运动终板再生的影响

田德虎<sup>1</sup> 李熙明<sup>2</sup> 张 奇<sup>1</sup> 张英泽<sup>1,4</sup> 刘宽芝<sup>3</sup> 于昆仑<sup>1</sup> 韩金豹<sup>1</sup> 韩久卉<sup>1</sup>

**摘要** 目的:探讨分米波对神经损伤吻合术后肌肉运动终板(MEP)再生的影响。方法:大鼠坐骨神经离断后行9—0无损伤线吻合,术后实验组行分米波局部辐射,每周5次,分别于术后第4周、8周、12周观察运动终板显微结构的变化及乙酰胆碱酶(AchE)含量的变化。结果:各时间点实验组大鼠腓肠肌运动终板再生和AchE含量明显高于对照组。结论:周围神经损伤后,局部应用分米波辐射可明显促进终板再生和提高AchE含量,从而促进运动功能的恢复。

**关键词** 分米波;周围神经损伤;运动终板;乙酰胆碱酶

中图分类号:R493 文献标识码:A 文章编号:1001-1242(2008)-11-0976-03

The influence of decimeter wave on the regeneration of motor end plate after nerve injury/TIAN Dehu, LI Ximing, ZHANG Qi, et al./Chinese Journal of Rehabilitation Medicine, 2008, 23(11): 976—978

**Abstract Objective:** To approach the influence of decimeter wave on muscle motor end plate (MEP) regeneration and anastomosis after nerve injury. **Method:** After the rat's sciatic nerve mutilation, 9—0 surgical thread was used to anastomose the nerve. The rats in experiment group were given local decimeter wave irradiation, five times a week. Then the changes of microstructure of MEP and the content of AchE were observed at 4th, 8th and 12th week. **Result:** At different time points the regeneration of rat's gastrocnemius muscle MEP and the contents of AchE were better than that in control group. **Conclusion:** Local decimeter wave irradiation could obviously promote the regeneration of MEP and enhance the content of AchE after peripheral nerve injury.

**Author's address** Dept. of Orthopaedics, The Third Hospital of Hebei Medical University, Shijiazhuang, 050011

**Key words** decimeter wave; peripheral nerve injury; motor end plate; acetylcholinesterase

周围神经损伤是骨科常见、多发病。近几十年来对促进神经再生的研究较多,对失神经后运动终板的研究较少,而再生运动神经的功能恢复最终要靠运动终板的再生与重建,终板的功能状态反映肌肉的功能状态<sup>[1]</sup>。有研究报道<sup>[2-8]</sup>,一些物理因子,如电刺激、微波等能促进周围神经再生,本课题组在前期探讨分米波促周围神经再生的基础上,构建大鼠坐骨神经损伤模型,修复后对其局部进行分米波辐射,通过终板特染、AchE特染观察终板显微结构及AchE含量的变化,探讨分米波对周围神经损伤后神经修复与终板再生的作用机制,为临床推广应用提供理论依据。

## 1 材料与方法

### 1.1 实验动物分组与手术方法

本实验选用相同条件下喂养的成年健康SD大鼠(河北医科大学动物实验中心提供)60只,雄性,体重200—250g。随机编号标记后分成A组(实验组)和B组(对照组),每组30只。于同一动物饲养室适应性饲养1周。术前8h禁食水,10%水合氯醛(300mg/kg)腹腔注射麻醉,取俯卧、后腿伸直位固定于手术台上,常规备皮、消毒、铺巾。于右侧大腿后部

正中切口,分离股二头肌和半腱肌、半膜肌之间的肌间隙,显露坐骨神经,在梨状肌下缘10mm处将神经切断,在8倍手术显微镜下以9—0无损伤线将神经两断端吻合,关闭肌间隙,缝合皮肤,术毕。本实验所有手术均由实验者一人在同一助手协助下完成。

### 1.2 术后处理

术后每日换药1次,术后7d切口拆线。动物术后继续A组和B组分笼饲养,任其活动。A组于术后第1天至术后12周取俯卧、双腿伸直位固定于实验台上,右侧大腿后正中行分米波辐射。分米波治疗仪采用国产TMA-A型双频微热疗机,频率915MHz,功率5W,辐射距离10cm,1次/天,10min/次,每周连续5d,休息2d。B组于A组治疗同时逐一在微热疗机旁固定于同型实验台,进行10min空白对照。

### 1.3 观察指标及检测方法

1 河北医科大学第三医院骨科,石家庄,050011

2 石家庄市第一医院骨科

3 河北医科大学第三医院内分泌科

4 通讯作者

作者简介:田德虎,男,主任医师

收稿日期:2008-07-16

**1.3.1 运动终板的氯化金染色:** 术后第4、8、12周取腓肠肌的上1/3切成厚3mm的肌组织小块,用氯化金特染固定液固定,变半透明后由滤纸吸干水分放入1%氯化金液内15—60min,待组织成金黄色后再放入20%甲酸溶液内过夜,第2天放入甘油、酒精液混合液中保存,取小块肌组织挑拨并用甘油压片,光镜下观察神经-终板,并行图像分析。

**1.3.2 终板AchE染色:** 术后第4、8、12周取腓肠肌中段肌组织行冰冻切片厚5μm,水洗后,Karnovsky作用液染30min(0—4℃),0.44M蔗糖洗,Dab作用2min(0—4℃),再次0.44M蔗糖洗,45℃温风吹干,液体石蜡封片。光镜下观察运动终板AchE呈棕色,行光密度测定,并进行统计学分析。

#### 1.4 统计学分析

所有数据均采用SPSS 11.0统计软件进行统计学处理。所得数据以均数±标准差表示,数据间比较采用t检验。

## 2 结果

### 2.1 运动终板的显微结构改变

术后第4周:A组和B组镜下运动终板均出现退变,终板染色变浅,轴索终末分支减少,终板核减少,肌浆淡染,部分终板边缘皱缩,中央出现空泡样淡染区,两组均可见再生运动终板,肌纤维间可见少许再生神经,见图1—2。术后第8周:A组和B组镜下均可见再生运动终板。A组运动终板数量增加,染色较深,轴索终末分枝、终板核增多,肌浆染色增深,终板边缘较平整,形态多呈“哑铃”状,少部分呈“爪样”或“菊花”,肌纤维间可见再生丰富的神经。B组运动终板数量增加不明显,染色较淡,轴索终末分支、终板核增多不明显,肌浆淡染,终板边缘部分仍有皱缩,形态多呈不规则状,见图3—4。术后12周:A组运动终板形态与着色接近正常,体积完整呈椭圆或卵圆形,轴索终末形成众多细支盘绕在肌纤维上,可见较多终板核,局部肌浆浓聚,运动终板在着色、数量上与正常组无明显差别,形态多呈“爪样”或“菊花”样。B组运动终板数量少,着色较深,体积多不完整,轴索终末形成相对少,终板核少,肌浆浓染,终板形态部分呈“哑铃”、“爪样”或“菊花”,见图5—6。

### 2.2 乙酰胆碱酶含量

术后第4周:A组和B组运动终板数量少,边缘模糊,AchE染色相对浅,只有残迹可见,有的甚至呈阴性,可能与部分运动终板崩解变性有关。两组运动终板的光密度变化无显著性意义( $P>0.05$ ),见表1。

术后第8周:A组运动终板数量增加明显,AchE染色较术后4周有所增强。B组变化不明显。两组运动终板的光密度变化有显著性意义( $P<0.05$ ),见表1。术后第12周:A组运动终板数量明显增加,运动终板边缘清晰并加粗,终板AchE染色深。B组运动终板数量较术后8周有所增加,ACHE染色较深。两组运动终板的光密度变化有显著性意义( $P<0.01$ ),见表1。

表1 两组术后运动终板AchE光密度比较 ( $\bar{x}\pm s$ )

组别	第4周	第8周	第12周
实验组	0.10±0.05	0.19±0.06	0.29±0.04
对照组	0.09±0.04	0.10±0.04	0.11±0.05
P	>0.05	<0.05	<0.01



图1 术后4周A组腓肠肌运动终板的变化  
(氯化金染色 ×400)

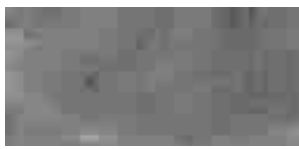


图2 术后4周B组腓肠肌运动终板的变化  
(氯化金染色 ×400)



图3 术后8周A组腓肠肌运动终板的变化  
(氯化金染色 ×400)



图4 术后8周B组腓肠肌运动终板的变化  
(氯化金染色 ×400)



图5 术后12周A组腓肠肌运动终板的变化  
(氯化金染色 ×400)



图6 术后12周B组腓肠肌运动终板的变化  
(氯化金染色 ×400)

## 3 讨论

运动终板是运动神经末梢与肌纤维膜形成突触的效应器结构,其正常结构与功能的维持有赖于与神经元的完整联系。神经损伤后运动终板出现退变,终板染色变浅,数量减少,部分终板边缘皱缩,出现空泡样淡染区,随时间延长退变明显,轴突终末分支溃变,终板减少甚至消失,显示模糊的轮廓,AchE染色浅,有的只有残迹可见<sup>[9]</sup>。有研究发现,乙酰胆碱(Ach)主要来源于运动神经元胞体,通过轴突快速运输到达神经末梢,AchE活性的强弱反映运动神经元的功能状态。运动终板结构的改变与AchE的活性和含量有决定性的关系,神经损伤后神经远端轴突发生Waller变性,导致运动终板AchE活性下降,

终板结构发生改变。神经再生时,运动终板 AchE 活性和终板结构恢复正常<sup>[10]</sup>。本实验结果显示,神经损伤术后 4 周实验组和对照组镜下运动终板开始出现退变,终板染色变浅,对照组退变较实验组反应重,差别不太明显。AchE 含量减少,两组光密度分析虽无显著性意义( $P>0.05$ ),实验组的含量高于对照组。说明神经损伤早期分米波的应用可以减轻局部充血、水肿,增加局部血循环,抑制炎性反应,减轻神经周围粘连、卡压,进一步改善神经缺血、缺氧,为神经再生提供良好的微环境,利于神经的修复与再生,减轻了 AchE 含量的减少,进而延缓了运动终板的退变。术后 8 周随着分米波的辐射,实验组运动终板数量增加,染色较深,AchE 含量较对照组增多。至术后 12 周实验组终板几乎接近正常,AchE 含量继续增多。而 对照组术后 8 周终板随着损伤神经逐渐再生而退变减轻,至第 12 周部分恢复,即单位面积内的数量仍较少,AchE 含量也较低。实验研究表明,分米波辐射早期终板结构的退变、AchE 减少均轻于对照组,而且后期终板再生结构的改变和 AchE 含量的提高明显高于对照组。本实验终板的变化可能与瓦勒氏变性、AchE 含量,神经生长因子(NGF)含量及雪旺氏细胞增殖过程有关。瓦勒氏变性一旦发生,早期 AchE 含量和活性下降,受损部位即会提供适宜的细胞与细胞、细胞与基质及营养因子的微环境以满足神经轴突生长的需要<sup>[11]</sup>。NGF 可以促进轴突的再生恢复,轴突再生后,运动终板的结构和功能也逐渐恢复<sup>[12]</sup>。雪旺氏细胞是周围神经系统的胶质细胞,周围神经受损时,反应性的分裂增殖,形成 Bungner 带,为轴突再生提供通道;同时雪旺氏细胞分泌数种神经营养因子,防止受损神经元死亡,促进轴突再生;雪旺氏细胞还分泌细胞外基质成分和细胞黏附分子等,为轴突提供良好的再生环境,支持和引导再生的轴突重新支配靶组织<sup>[13]</sup>。前期研究表明分米波可以提高再生神经中 S-100 蛋白和 NGF 的表达水平,促进雪旺氏细胞增殖,加速损伤神经轴突再生及再髓鞘化、再生神经结构成熟,从而促进神经再生和功能恢复。本实验结果提示分米波的应用促进了损伤神经的修复和再生,减缓了运动终板的退变,同时分米波促进雪旺氏细胞增殖,提高 NGF 的水平和 AchE 含量,进一步促进了运动终板的再生,这种变化随着

分米波应用时间的延长越来越明显,这就为神经的修复手术争取了时间,进而更有利于神经的再生和运动功能恢复。

#### 4 结论

神经损伤后,局部应用分米波可以促进神经轴突再生,使胆碱能神经递质乙酰胆碱合成和释放作用增强,并使 AchE 的活性增高,减轻终板变性的程度,促进运动终板再生、重新神经再支配,延缓肌肉萎缩,为神经功能恢复奠定了基础。其对运动终板超微结构变化的影响仍需进一步研究。

#### 参考文献

- [1] 张庆民,关骅.脊髓及周围神经损伤后神经肌肉运动终板的病理改变[J].中国康复理论与实践,2004,10(11):680—681.
- [2] 米立新,王彦香,张仲,等.经皮电神经刺激对周围神经再生的影响[J].中华物理医学与康复杂志,2003,25(4):209—211.
- [3] 朱西娥,杨彩哲,吴石白,等.毫米波照射穴位治疗糖尿病周围神经病变的临床观察[J].空军总医院学报,2000,16(3):178—178.
- [4] 于淑芬,佟俐,刘淑芳,等.调制中频脉冲电促进周围神经功能恢复的研究[J].中华理疗杂志,1997,20(1):35—37.
- [5] 尹爱莉,祝玮.应用正弦调制中频电疗及微波治疗 DPN[J].辽宁实用糖尿病杂志,2003,11(1):27—28.
- [6] Inoue M, Hojo T, Yano T, et al. The effects of electroacupuncture on peripheral nerve regeneration in rats [J]. Acupunct Med,2003,21(1-2):9—17.
- [7] Chen YS, Hu CL, Hsieh CL, et al. Effects of percutaneous electrical stimulation on peripheral nerve regeneration using silicone rubber chambers [J]. J Biomed Mater Res,2001,57 (4): 541—549.
- [8] Lazar DA, Curra FP, Mohr B, et al. Acceleration of recovery after injury to the peripheral nervous system using ultrasound and other therapeutic modalities [J]. Neurosurg Clin N Am, 2001,12(2): 353—357.
- [9] 王瑜,李兵,肖传国.大鼠脊神经损伤后所支配骨骼肌及其运动终板的退变[J].中国康复医学杂志,2006,21(10):871—873.
- [10] 殷琦,陆玉朴,胡蕴玉,等.肌肉失神经后运动终板早晚期退变的实验研究[J].中国修复重建外科杂志,1995,9:35—37.
- [11] Fawcett JW, Keynes RJ. Peripheral nerve regeneration [J]. Annual reviews in Neuroscience,1990,13(1):43—60.
- [12] 王占友,石玉秀,张开,等.神经生长因子对神经损伤后运动终板再生影响的研究 [J].中国组织化学与细胞化学杂志,1999,8(2): 197—200.
- [13] Guest JD, Rao A, Olson L, et al. The ability of human Schwann-cell grafts to promote regeneration in the transected nude spinal cord[J]. Exp Neurol,1997,148(2):502—522.